

# W-Cr 系不収縮工具鋼の研究 (I)\*

(Mn 及び C の影響について)

山 中 直 道\*\*・日 下 邦 男\*\*\*

## INFLUENCE OF MANGANESE AND CARBON ON THE PROPERTIES OF W-Cr NON-DEFORMING TOOL STEEL (I)

*Naomichi Yamanaka, Dr. Eng. and Kunio Kusaka*

### Synopsis:

To investigate the influence of manganese and carbon on the properties of oil-hardening non-deforming tool steel containing 1.05% carbon, 1.2% tungsten and 0.75% chromium, the authors measured the critical point, Jominy hardenability, S-curve for the transformation of austenite, quenched and tempered hardness, retained austenite, dimensional changes and toughness.

### I. 緒 言

特殊工具鋼第2種は油焼入不収縮工具鋼として使用範囲がきわめて大きく、小はタッピ類より大はボジローラにおよび用途によって硬化能の調節をはかることが必要であり、このためにJIS規格においてもMnの上限が0.5%から0.8%に改正された。本鋼種の変形率、軟性等については既に2, 3の報告<sup>1,2)</sup>があるが、Mnが焼入変形率、硬化能等におよぼす影響については文献がないので、吾々はこの影響をしらべるためにC 1.05%, W 1.2%, Cr 0.75%を基本成分としてMnを種々に添加し、またC量をも変化させてこれらの影響を調査した。供試材はTable 1に示す如き成分のもので、35KVA高周波誘導炉で7kg鋼塊を熔製し、これを16Φに圧延後球状化焼鈍を行つて使用した。

### II. 実験結果

#### (1) 変態点

本多式熱膨脹計により約2°C/mnの加熱および冷却速度で変態点を測定した結果はTable 1に示す如くでAc点はMn添加により低下の傾向を示す。Fig. 1は900°C×10mn空冷の場合の変態生起状況を示すものでMn 0.4%では440°CにAr'変態を示すがMnの増加につれてAr'点は低下し、Mn 1%になると一部Ar''を生じ、Mn 1.4%ではAr'は消失してAr''変態のみを示す。またCの多くなるにつれてAr'生起温度が上昇し、C 0.99%ではAr'は430°Cに、C 1.21%では570°Cに生ずる。

次に外径16mm、内径8mm、厚さ2.5mmの試片を半分に切断した大きのものを820°C×20mm加熱後、Ms点附近の一定温度に保持せる塩浴中または油中に焼入れて15~20秒保持して直ちに350°Cの鉛浴に約20秒焼戻したのち水冷し、焼戻マルテンサイトと

Table 1. Chemical composition of steels tested.

Steel No.	Chemical composition								Ac (°C)	Ar (°C)
	C	Si	Mn	P	S	Cr	W	Cu		
WB-2	1.01	0.28	0.40	0.016	0.019	0.69	1.20	0.17	745~805	700~660
-3	1.06	0.31	0.61	0.014	0.020	0.76	1.21	0.18	740~800	710~670
-4	1.04	0.28	0.79	0.018	0.019	0.78	1.23	0.18	740~800	705~665
-5	1.02	0.31	1.03	0.016	0.019	0.77	1.22	0.16	740~790	700~650
-6	1.03	0.34	1.23	0.013	0.020	0.79	1.19	0.19	735~785	705~660
-7	1.03	0.33	1.40	0.014	0.018	0.79	1.21	0.18	725~780	695~645
-21	0.99	0.28	0.38	0.012	0.017	0.75	1.16	0.13	750~795	710~675
-22	1.07	0.29	0.40	0.011	0.015	0.76	1.18	0.18	745~805	720~685
-23	1.08	0.28	0.38	0.011	0.013	0.75	1.19	0.17	745~795	720~680
-25	1.12	0.28	0.38	0.010	0.018	0.75	1.27	0.18	745~795	725~685
-26	1.21	0.27	0.39	0.010	0.016	0.75	1.27	0.17	740~795	725~690

\* 昭和30年4月本会講演大会にて講演 \*\* 特殊製鋼株式会社 工博 \*\*\* 同研究所

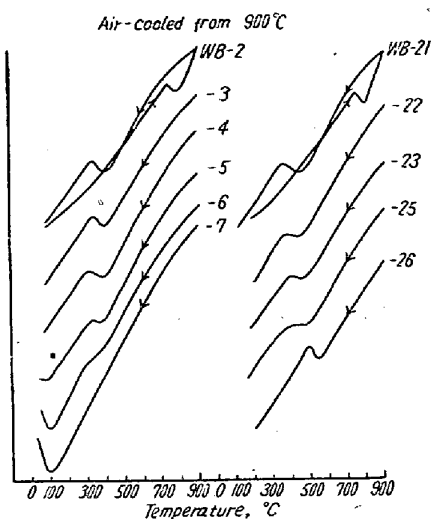


Fig. 1. Dilatation curves during air-cooling.

$\alpha$ -マルテンサイトがピクラールで識別されることを利用して<sup>3)</sup> Ms 点を求めた。Fig. 2(A) はこの結果で Ms 点は Mn の多くなるにつれて急激に低下し、また C% の増加によつても Ms 点は低下の傾向を示す。

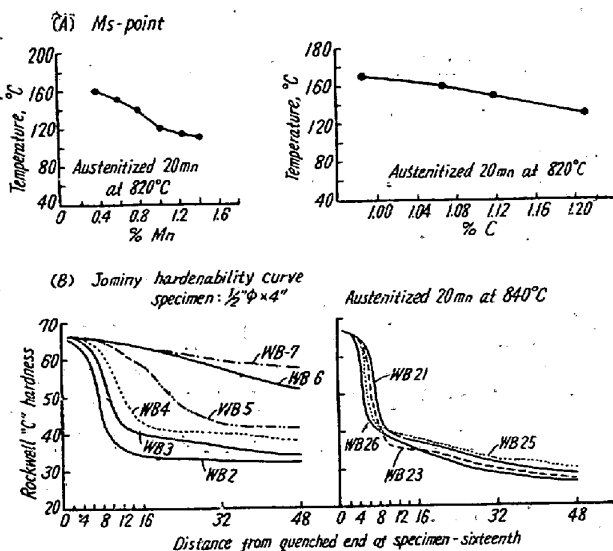


Fig. 2. Ms point (A) and Jominy hardenability curves. (B)

## (2) ジョミニー硬化能および恒温変態曲線

Fig. 2 (B) は圧延材を球状化焼鈍後  $1/2'' \phi \times 4''$  の試片を作成し、 $840^{\circ}\text{C}$  に加熱後 SAE 規格<sup>4)</sup>によつてジョミニー硬化能を測定した結果である。この場合には試片が細いため空冷効果が大で標準試片の場合よりも硬化能はやや大きくあらわれるが、Mn 量の多くなるにつれて硬化能は著しく向上する。また C% の多くなるにつれて硬化能はやや低下の傾向を示す。

次に厚さ 2mm の小試片を  $820^{\circ}\text{C} \times 20\text{mm}$  加熱後、

一定温度に保つた鉛浴および塩浴中に恒温焼入を行い保持時間を見て水冷し、硬度および組織より恒温変態図を作成した。本鋼種の如く球状化焼鈍を行つて使用する工具鋼の場合にはセメントイト粒の大小により焼入性に差があることは、既に明らかにされている<sup>5), 6)</sup> ところであるが、この場合には  $920^{\circ}\text{C}$  烧準後  $780^{\circ}\text{C} \times 4\text{h}$  の焼鈍を行つた。Fig. 3 はこの結果を示すもので、変態はペーライト段階と中間段階とが重なり合つた如き形を示し終了線に明らかに二重弯曲を生ずる。Mn の多くなるにつれて中間段階の突出部が顕著となり、また変態開始線は長時間側に移動し硬化能の増大することを示す。

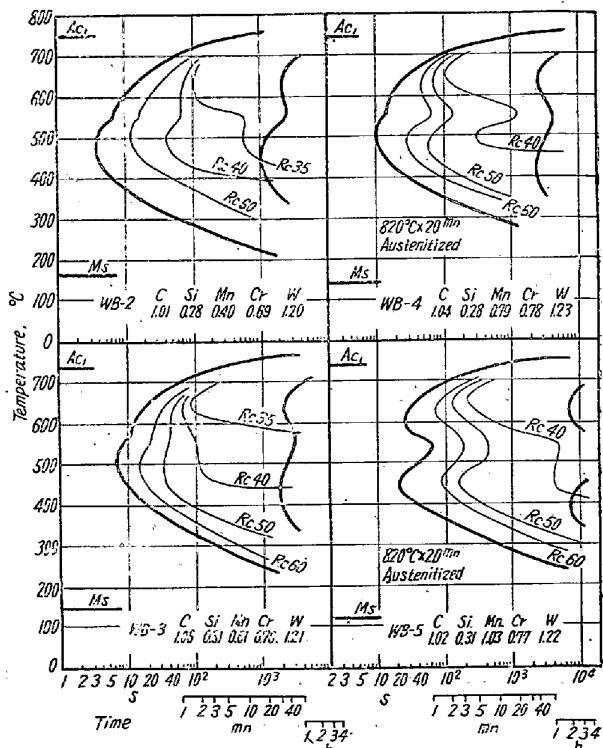


Fig. 3. Time-temperature-transformation curves for the decomposition of austenite

## (3) 焼入硬度および残留オーステナイト量

$16\phi \times 10$  の小試片を  $740 \sim 980^{\circ}\text{C}$  に  $20\text{mn}$  保持して油冷し硬度を測定せる結果は Fig. 4 (A) の如くで油冷最高硬度  $\text{Rc } 65$  前後が、Mn の低い場合には  $840^{\circ}\text{C}$  附近で得られるが、Mn の多くなるにつれてこの温度が低目に移動する。Mn の低いものは焼入温度上昇による硬度低下の割合は少ないが、Mn が多くなるにつれて、また C 量の高くなるほど硬度が急激に低下する。これは後述の如く残留オーステナイトの増加によるものと考えられる。なお  $780^{\circ}\text{C} \times 4\text{h}$  および  $840^{\circ}\text{C} \times 20\text{h} \rightarrow 780^{\circ}\text{C} \times 10\text{h}$  の焼鈍を行つてそれぞれ球状セメントイトの粒を変化せしめたものより外径 16mm、内径 6mm、厚さ 4

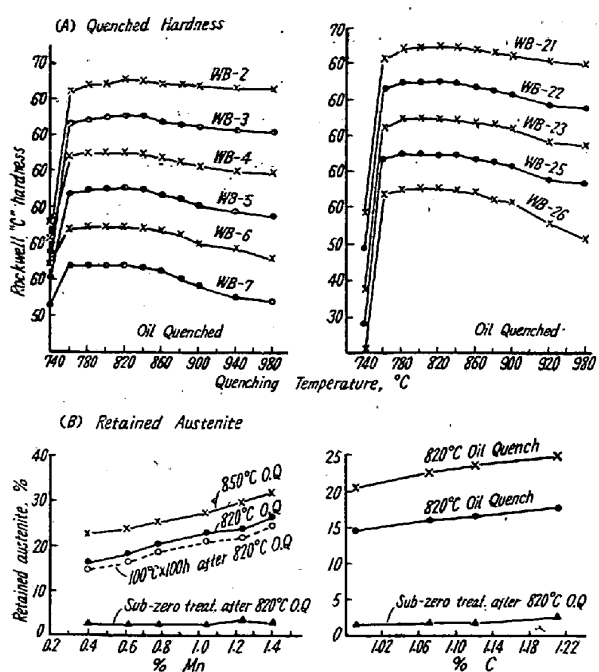


Fig. 4. Quenched hardness (A) and retained austenite (B) 右図中 (××線上の 820°C とあるは 850 °C の誤記につき訂正す)

mmの小試片を作成し、840°Cに加熱した鉛浴中に入れ浸漬時間を1, 2, 4, 6mnと変化させて油冷し硬度を測定したが、両者共に浸漬時間は2mnで充分硬化することが判明した。

次に酸化法<sup>7)</sup>により860°C×1h加熱の場合の結晶粒度を求めた結果はG11~12前後でMnの影響は別に認められない。

次に820°C油冷、-75°C×4hのサブゼロ処理(ドライアイス+アセトン)を行い硬度変化をみたが、硬度はRc66~67に上昇し、C量の多いほど高硬度を示す。

Fig. 4(B)は10Φ×50試片を用い、磁気継鉄法(H=2000エルステッド)により820°Cおよび850°C油冷(24h後)して残留オーステナイト量を測定した結果でMnの多くなるにつれて急激に増加し、またC量の多いほど増加の傾向を示す。しかして焼入温度の高いほど残留オーステナイトは増加する。820°C油冷後-75°Cのサブゼロ処理を行うと残留オーステナイトは著しく減少し2%内外となり、MnおよびCの影響は殆んど認められぬ。820°C油冷後100°C×100hのエーシングによって残留オーステナイト量は焼入後24hの時の値よりも約3%前後分解する。また850°C油冷後常温で150日間放置すると1.5~2%分解する。

#### (4) 焼入および焼戻による寸法変化

外径、端面共に研磨して10Φ×50試片をつくり、820°C油冷および-75°C×4hサブゼロ処理を行つた後焼鈍状態に対する長さおよび直径の変化を1μの精度を有するコンパレーターにて測定した。Fig. 5(A)は寸法変化におけるMnの影響を示したもので、長さ方向では820°C油冷および850°C油冷共にMnの增加につれて膨脹量は減少し、Mnが多くなると収縮するに至るが、焼入温度の高い場合の方がこの傾向が顕著になる。直径方向は何れも+0.2%前後の膨脹を示しMnの影響は殆んど認められぬが、サブゼロ処理後はMnの多い程直径方向の膨脹量が大である。次に(B)は各温度に1hづつ焼戻を行つた場合の長さおよび直径変化率を示すもので、油冷後150°Cまでは次第に収縮し、200°Cで僅かに、300°Cで著しく膨脹を示す。この膨脹量はMnおよびC量の多くなるほど大であり、残留オーステナイトの分解に基くものである。

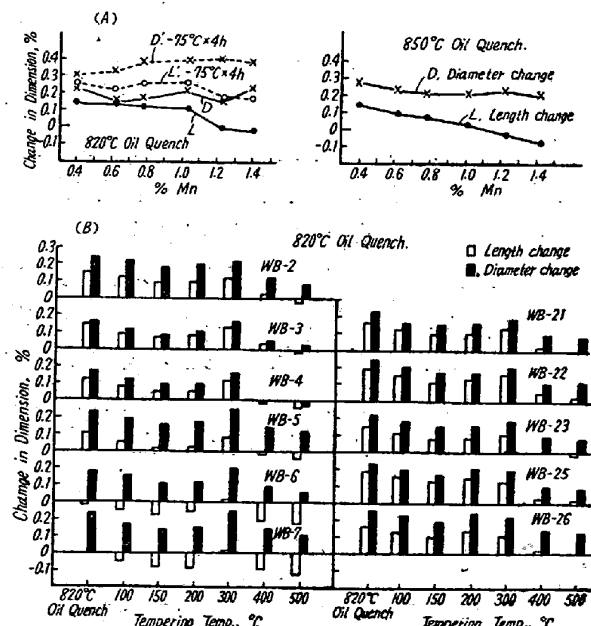


Fig. 5. Effect of manganese (A) and tempering temperature (B) on the dimensional changes.

Fig. 6(A)はサブゼロ処理後焼戻した場合の寸法変化を示すもので、この場合には200~300°Cにわたる膨脹は全然認められない。

(5) 焼戻による残留オーステナイト、硬度および長さの変化

Fig. 6(B)は820°C油冷後各温度に1hづつ焼戻を行つた場合の残留オーステナイトの変化を示したもので、残留オーステナイトは何れも150°Cまでは殆んど分解せず、200°Cでわずか分解し300°Cで完全に分解する。

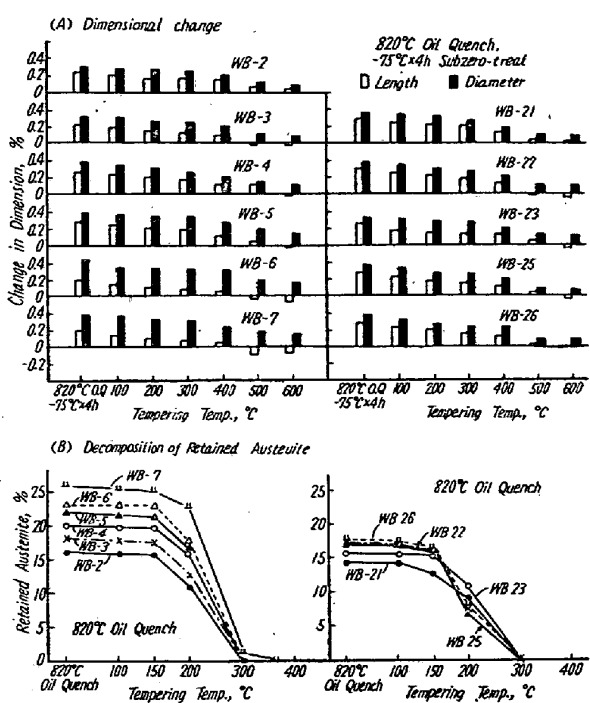


Fig. 6. Effect of tempering temperature on the dimensional changes (A) and decomposition of retained austenite (B)

次に Fig. 7 は 820°C 油冷およびサブゼロしたもの各温度に 1h づつ階段的に焼戻した場合の硬度曲線を示すもので、サブゼロ処理により硬度は Rc 66~67 以上昇する。油冷のものは 250~300°C において残留オーステナイトの分解により軟化が一時停止し、この程度は Mn の多いほど著しい。サブゼロ処理を行ったものは 300°C までの焼戻では油冷のみのものより硬度は高目であるが、これ以上の焼戻温度では殆んど差がなくなる。

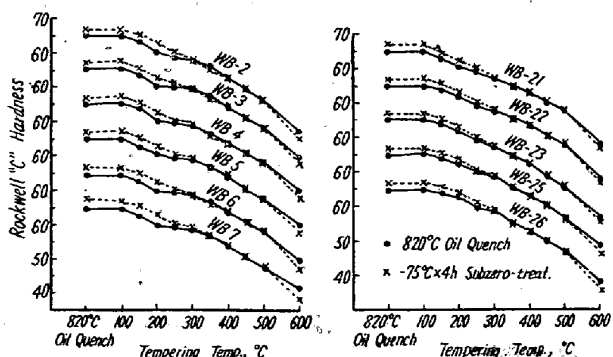


Fig. 7. Effect of tempering temperature on the hardness.

Fig. 8 は 5φ×80 試片を 820°C 油冷後、600°C まで約 2.5°C/mn の加熱速度で連続的に焼戻した場合の長さの変化を本多式熱膨脹計により測定したものであるが、Mn の多くなるにつれて 110°C 附近から開始する

所の  $\alpha \rightarrow \beta M$  に基く収縮が顕著になる。Mn の量多いものは焼入状態においては残留オーステナイト量多く、したがつて  $\alpha$ -M の量は Mn の低いものよりも少いにかかわらず、 $\alpha \rightarrow \beta M$  に伴う収縮が著しいことは、既に報告<sup>1)</sup>にある如く、Mn による本質的な影響によるものであり、 $\alpha$ -M の分解が Mn によって促進されることを示すものである。

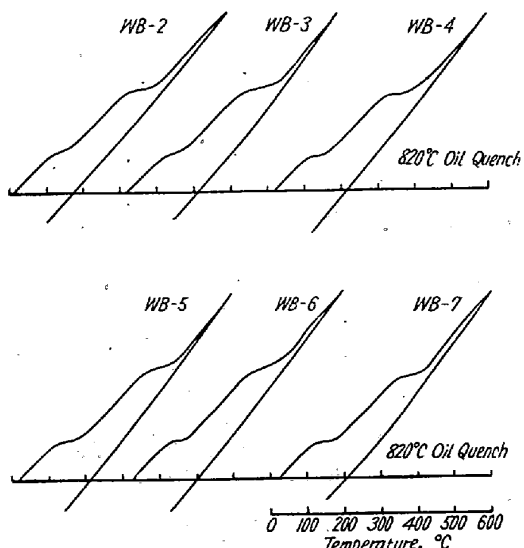


Fig. 8. Length changes during tempering.

#### (6) 時効による性質の変化

精密工具、抜型、ゲージ類等にとって寸法の安定性が重要な性質の一つである。焼入状態においては鋼は  $\alpha$ -M と残留オーステナイトを有するために、これを常温に放置するときには残留オーステナイトの分解による膨脹と  $\alpha \rightarrow \beta M$  変化による収縮とによって寸法変化を生ずる。これを防止するために 100~120°C の長時間エージングまたはサブゼロ処理後焼戻をすることが<sup>2)</sup>行われるのでこれに関し若干の実験を行つた。即ち 820°C 油冷およびサブゼロ処理せるものを 100°C × 10h 焼戻を 10 回繰返した場合の硬度、寸法、残留オーステナイトの変化を求めた。

Fig. 9 (A) は硬度変化を示したもので、まず 820°C 油冷の場合には 50h までは次第に硬度を低下し、その後殆んど一定となり Rc 62 前後を示す。-75°C サブゼロ処理を行つたものは 60h までは徐々に硬度を低下し、その後は殆んど一定となり Rc 64 前後を示すが C 量の多いほど硬度は高い。

Fig. 9 (B) は同じく、コンパレーターにより長さ変化を測定したものであつて焼戻を繰返した場合焼入状態に対する変化量(収縮)を示す。820°C 油冷のものおよびサブゼロ処理したもの共に 100°C × 10h の焼戻で急激

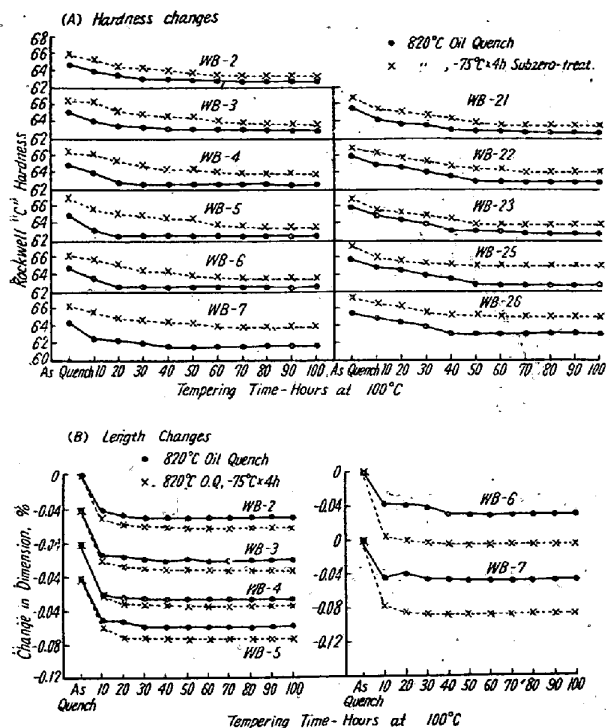


Fig. 9. Hardness and length changes during tempering at 100°C.

に収縮し、その後50hまでは徐々に収縮し一定値に近づく。サブゼロ処理したものは油冷のみの場合よりも収縮量は多く、またMnの増加につれてこの収縮量が大となる。

#### (7) 軟性試験

16φ圧延材を球状化焼鍛後7φ×50に加工し、820°C×20mn油冷後各温度で1h焼戻を行い、静的曲げ試験により軟性の変化をみた。即ちアムスラー試験機で40mm支点間の中央に荷重を加え1/100mmダイヤルゲージを用い撓み量の測定を行つた。Fig. 10 (A) はこの結果を示すもので焼戻によつて100°C附近より $\alpha\rightarrow\beta$ M変化に対応して急激に軟性を増加し、175°Cで最大となり、200~250°Cで残留オーステナイト $\rightarrow\beta$ M変化に伴い、やや軟性を減じてその後焼戻温度の上昇につれて軟性を向上する。したがつて硬度と共に軟性を充分大ならしめるためには、175°C前後で焼戻を行うのを適当とする。次に(B)は820°C×20mn油冷後175°C×1h焼戻せるものの軟性にMnおよびCが如何なる影響を与えるかをみたもので、Mnによつては撓みには殆んど変化がないが破断荷重がやや増加して軟性が向上する傾向を示すが、C量の増加によつては軟性は低下する。

### III. 結 言

以上C 1.05%, W 1.2%, Cr 0.75%を基本成分としてMnを変化せしめ、またCをも変化させてその影

(Fig. 10 のA図中 Tempering temp. 1h とあるは Tempering time, 1h の誤記につき訂正す)

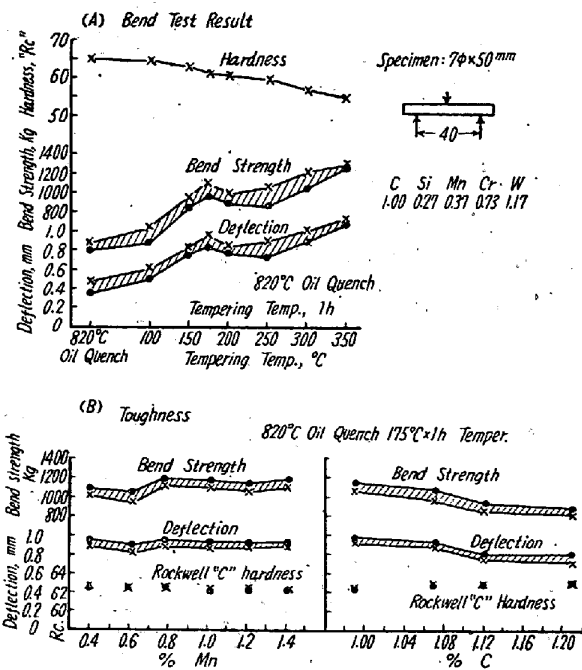


Fig. 10. Effect of tempering temperature on the bend strength and deflection (A) and effect of manganese and carbon on the toughness (B).

響を調査したが、これらの結果を要約すれば次の如し。

(1) 変態点はMn添加により降下する。またMs点もMnおよびC量の増加につれて低下する。

(2) 硬化能はMn添加により著しく向上し、C量が多くなるとやや低下の傾向を示す。恒温変態曲線はパーライト段階と中間段階とが重なり合つた形を示すが、Mn量の多くなるにつれて中間段階の突出が顕著となり変態開始線は長時間側にずれる。

(3) 焼入によつて残留するオーステナイトはMnおよびCの多くなるにつれて増加する。 $-75^{\circ}\text{C}$ サブゼロ処理により残留オーステナイトは殆んど分解する。焼戻によつては200°Cより分解をはじめ、300°Cで殆んど完全に分解する。

(4) 焼入による長さの膨脹率はMnの多くなるにつれて減少し、Mn 1.2%以上では収縮を示す。焼戻によつては150°Cまでは収縮を示すが200~300°Cで膨脹を示す。 $\alpha\rightarrow\beta$ Mによる収縮量はMnの多いほど顕著になる。

(5) サブゼロ処理により硬度はRc 66~67に上昇する。 $100^{\circ}\text{C} \times 100\text{h}$ の長時間エーティング後の硬度はC量の多いほど高い。

(6) 軟性試験の結果によれば焼戻によつて175°Cまでは急激に軟性を増加し山を生ずるが、200~250°C

焼戻で韌性をやや低下し谷を生ずる。820°C 油冷、  
175°C × 1h 焼戻後の韌性は Mn 量の増大につれてやや増  
加の傾向を示すが、C 量の多くなるにつれて韌性は低下  
する。終りに本研究の発表を許可せられたる石原工場長  
に敬意を表すると共に、実験の一部を担当された外岡曜  
平山政隆両係員に謝意を表する。(昭和30年7月寄稿)

## 文 獻

- 1) 田中実: 工業大学々報, No. 2 (1949) p. 45
- 2) 出口, 須賀: 鉄と鋼, 12 (1951) p. 27

- 3) A.B. Greninger, A.R. Troiano: TASM. 28 (1940) p. 537
- 4) SAE Handbook (1954) p. 134
- 5) 近藤: 日本金属学会分科会報告 V-A, p. 58
- 6) 藤沢: 日本金属学会誌, 18 (1954) p. 441
- 7) SAE Handbook (1952) p. 126
- 8) 僕, 大沢: 日本金属学会講演概要 (1955) 4月 p. 84

## Timken 16-25-6 の高温機械的性質に関する研究 (II)\*

長谷川太郎\*\*・落合 治\*\*・稻生 順一\*\*

STUDIES ON MECHANICAL PROPERTIES AT ELEVATED  
TEMPERATURE OF TIMKEN 16-25-6 (II)

*Taro Hasegawa, Osamu Ochiai and Junichi Ino*

## Synopsis:

The authors studied the effects of solution treatment on Timken alloys before hot-cold working, working temperature and reduction of working on creep rupture properties at 650°C, 31.5 kg/mm<sup>2</sup>. The results were as follows.

(1) Creep resistance increased by the solution treatment before hot-cold working, but ductility of creep rupture testing prominently decreased by it as compared with the test pieces which were hot-cold worked at the comparable working condition and not solution-treated before hot-cold working, although the hardness of the test pieces of the comparable working condition were not different.

(2) Creep rupture time decreased, and ductility increased as working temperature increased. Creep rate of the specimens worked at 700 and 800°C were not different regardless of the reduction of working and preheat-treatment. The third stage creep strain of the specimens which were hot-cold worked at 700°C were smaller than when it was hot-cold worked at 800°C.

(3) Creep rupture life decreased while the reduction of working increased regardless of the increasing hardness. Ductility decreased, while the reduction of working at any working temperature increased.

## I. 緒 言

前報においては H. C. W. (hot-cold work) やび  
P. H. (時効硬化処理) 前の回溶化処理時間の機械的性  
質におよぼす影響について報告した。その結果回溶化処  
理時間を長くし回溶体化および合金元素の拡散を充分進  
行させればクリープ抵抗は向上し、韌性は低下すること  
が明らかとなつた。然るに本鋼種では翼車等大型鍛造品  
を製造する場合、通常回溶化処理を行はず H. C. W.  
を実施する<sup>1)2)</sup>。H. C. W. の方法は AMS 5727 A によ  
れば 682°C 以下にて 4~6h の加熱後 H. C. W. を行

い 650~660°C 以下にて時当り少くとも 4h 保持空冷な  
る応力除去焼鍊を行う。即ち回溶化処理を行はず H. C.  
W. を行うことにより長時間高温度における韌性を向上  
する方法を採用している。H. C. W. 後の機械的性質は  
上記の如き H. C. W. 前の処理法の外に H. C. W. の  
加工条件として加工温度および加工度の影響をうけるこ  
とが予想される。H. C. W. の加工条件に関しては C.  
L. Clark<sup>3)</sup> の加工度と引張試験値に関する報告がある

\* 昭和30年本会春期講演大会にて発表

\*\* 住友金属製鋼所